

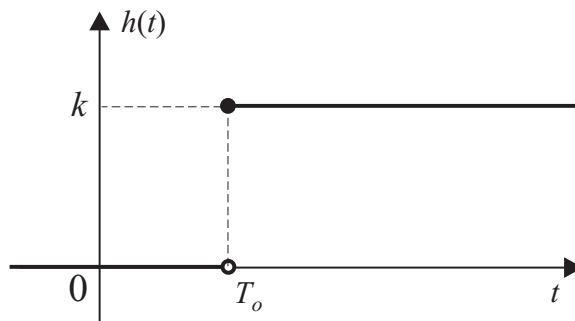
18. Element opóźniający

$$G(s) = \frac{Y(s)}{U(s)} = ke^{-sT_o}, \quad k > 0 \quad \rightarrow \quad (57)$$

$$\rightarrow y(t) = \mathcal{L}^{-1} \{G(s)U(s)\} = k u(t - T_o)$$

$$h(t) = \mathcal{L}^{-1} \left\{ \frac{G(s)}{s} \right\} = k \mathbb{1}(t - T_o), \quad g(t) = \mathcal{L}^{-1} \{G(s)\} = k \delta(t - T_o)$$

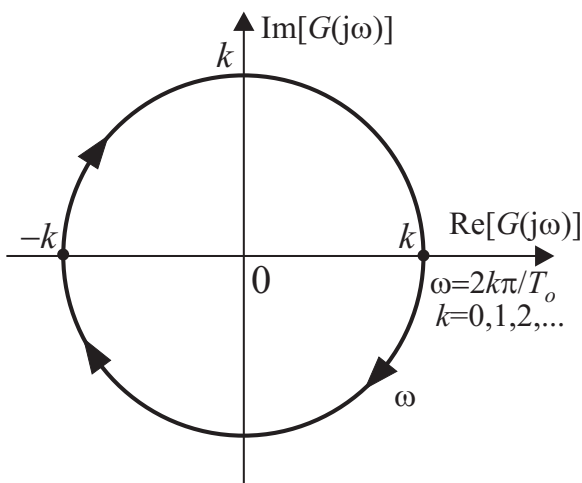
$$G(j\omega) = G(s)|_{s=j\omega} = ke^{-j\omega T_o} = k(\cos(\omega T_o) - j \sin(\omega T_o)) \quad (58)$$



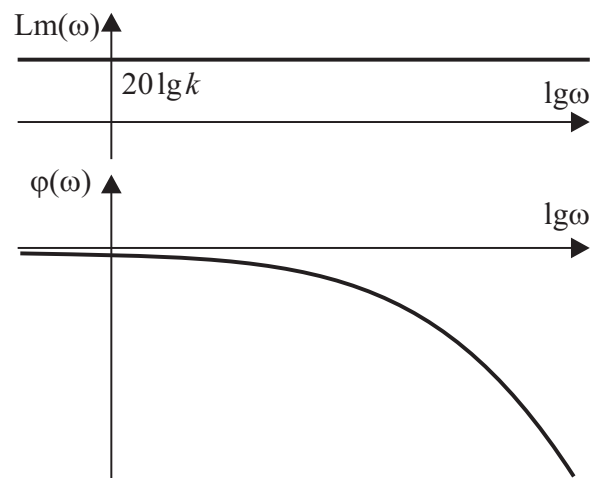
Rys. 50.

$$\text{Lm}(\omega) = 20 \lg |G(j\omega)| = 20 \lg k + \underbrace{20 \lg |e^{-j\omega T_o}|}_{=0} = 20 \lg k, \quad (59)$$

$$\varphi(\omega) = \arg(G(j\omega)) = -\omega T_o$$



(a)



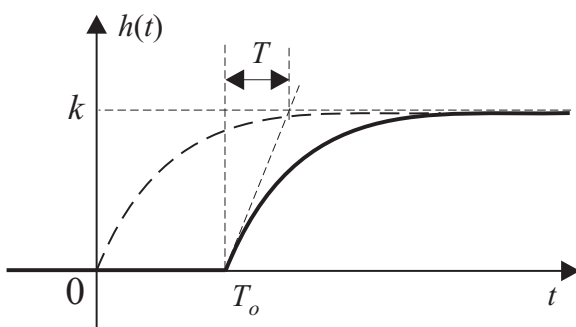
(b)

Rys. 51.

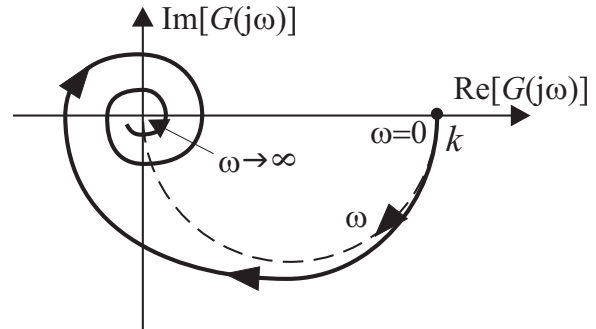
Przykład (element inercyjny 1-go rzędu z opóźnieniem)

$$G(s) = \frac{k}{1+sT} e^{-sT_o}, \quad k > 0 \rightarrow h(t) = \mathcal{L}^{-1}\left\{\frac{G(s)}{s}\right\} = k \left(1 - e^{-\frac{t-T_o}{T}}\right) \mathbb{1}(t-T_o)$$

$$|G(j\omega)| = \frac{k}{\sqrt{1 + \omega^2 T^2}} \cdot 1, \quad \varphi(\omega) = -\arctg(\omega T) - \omega T_o$$



(a)



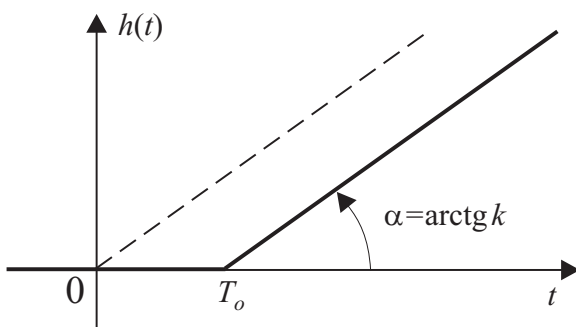
(b)

Rys. 52.

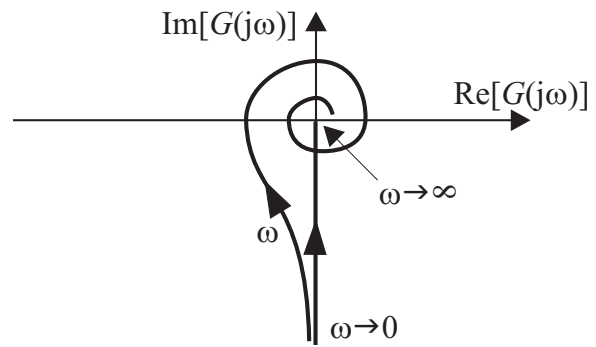
Przykład (element całkujący idealny z opóźnieniem)

$$G(s) = \frac{k}{s} e^{-sT_o}, \quad k > 0 \rightarrow h(t) = k(t - T_o) \mathbb{1}(t - T_o)$$

$$|G(j\omega)| = \frac{k}{\omega} \cdot 1, \quad \varphi(\omega) = -\frac{\pi}{2} - \omega T_o$$



(a)



(b)

Rys. 53.

19. Przybliżanie transmitancji operatorowej obiektem z opóźnieniem

a) elementu inercyjnego n -tego rzędu ($n > 1$) transmitancją elementu inercyjnego 1-go rzędu z opóźnieniem

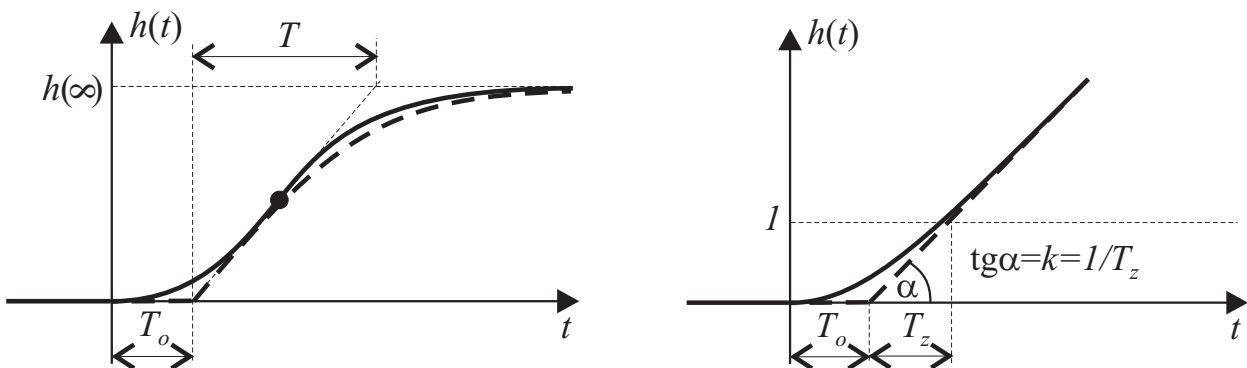
$$G(s) = \frac{Y(s)}{U(s)} = \frac{k}{(1 + sT_1)(1 + sT_2) \dots (1 + sT_n)}$$

$$u(t) = A\mathbb{1}(t) \Rightarrow k = \frac{h(\infty)}{A} = \frac{y(\infty)}{A}$$

$$T_1 = ?, \quad T_2 = ?, \quad \dots \quad T_n = ?$$

Np.

$$G(s) = \frac{k}{(1 + sT_1)(1 + sT_2)} \Rightarrow h(t) = k \left(1 - \frac{T_1 e^{-t/T_1} - T_2 e^{-t/T_2}}{T_1 - T_2} \right) \mathbb{1}(t)$$



(a) Rys. 54. (b)

$$G(s) \approx G_a(s) = \frac{k}{1 + sT} e^{-sT_o}, \quad k = \frac{h(\infty)}{A} \tag{60}$$

$$h_a(t) = k \left(1 - e^{-\frac{t-T_o}{T}} \right) \mathbb{1}(t - T_o) \tag{61}$$

b) elementu całkującego z inercją n -tego rzędu ($n > 1$)

$$G(s) = \frac{Y(s)}{U(s)} = \frac{k}{s(1 + sT_1)(1 + sT_2) \dots (1 + sT_n)}$$

$$G(s) \approx G_b(s) = \frac{k}{s} e^{-sT_o} \tag{62}$$

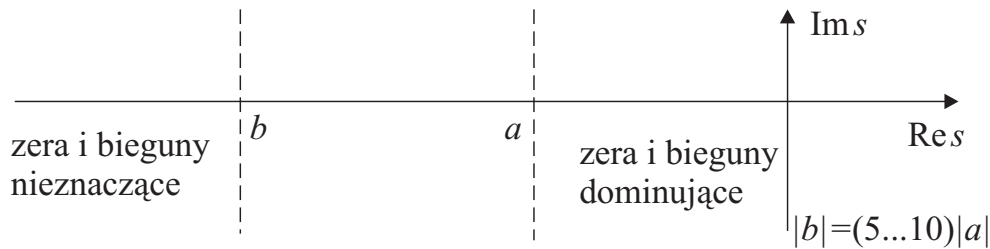
$$h_b(t) = k(t - T_o) \mathbb{1}(t - T_o)$$

20. Redukcja rzędu modelu układu dynamicznego

$$G(s) = \frac{k}{(1 + sT_1)(1 + sT_2)} \rightarrow h(t) = k \left(1 - \frac{T_1 e^{-t/T_1} - T_2 e^{-t/T_2}}{T_1 - T_2} \right) \mathbb{1}(t)$$

$$s_1 = -1/T_1, s_2 = -1/T_2, \quad \text{zał. } T_2 \ll T_1 \rightarrow s_2 \ll s_1$$

$$h(0) = 0, h(\infty) = k \rightarrow h_{red}(t) = k(1 - e^{-t/T_1}) \mathbb{1}(t) \rightarrow G_{red} = \frac{k}{1 + sT_1}$$

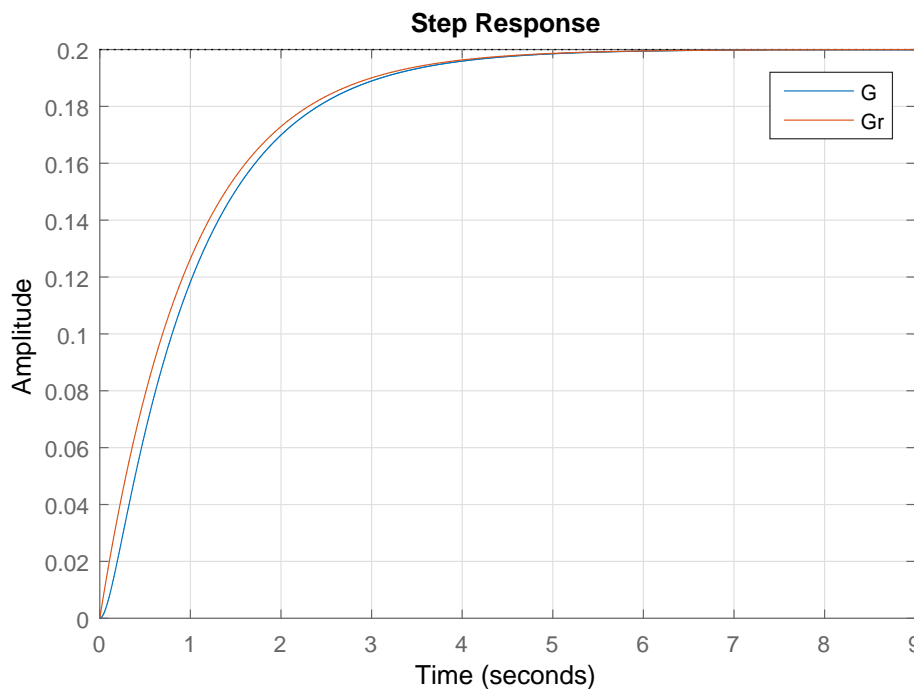


Rys. 55.

Przykład (element inercyjny 2-go rzędu)

$$G(s) = \frac{2}{(s + 1)(s + 10)} = \frac{2}{10(s + 1)(0,1s + 1)}$$

$$G_r(s) = \frac{2}{10(s + 1)}$$

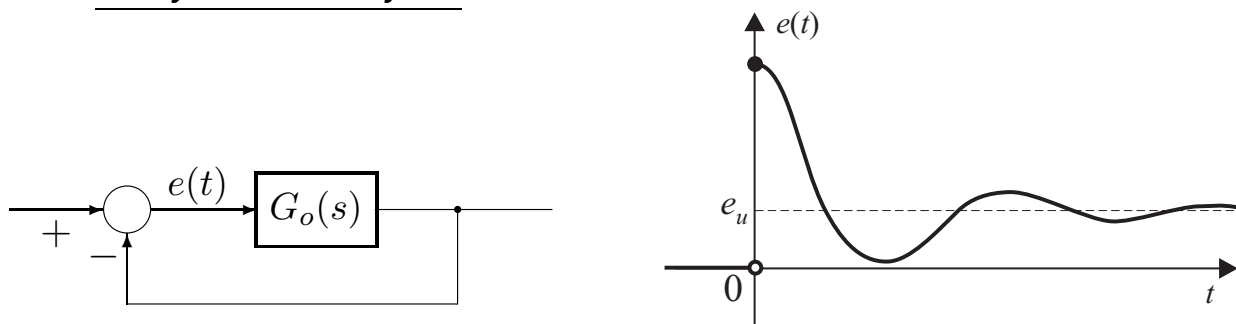


Rys. 56.

21. Wskaźniki czasowe jakości regulacji

- a) uchyb ustalony e_u
- b) czas opóźnienia t_d
- c) czas narastania t_r
- d) czas osiągnięcia wartości maksymalnej t_p
- e) przeregulowanie M_p lub względne przeregulowanie κ
- f) czas ustalania (regulacji) t_s

Ad. a) uchyby ustalony e_u



(a)

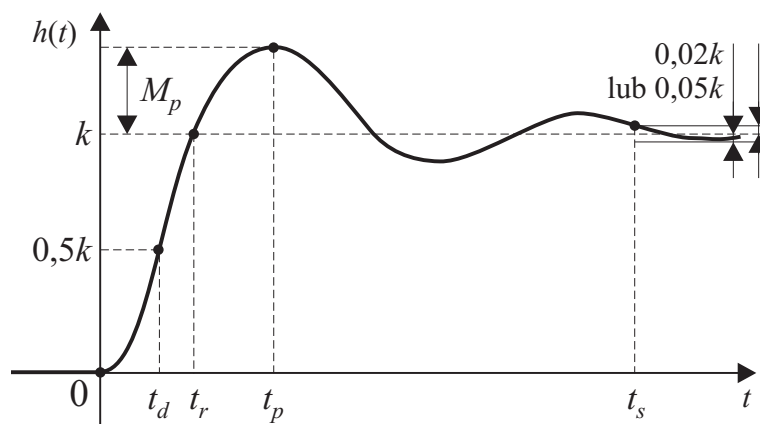
Rys. 57.

(b)

$$e(t) = e_u + e_p(t) \tag{63}$$

$$\lim_{t \rightarrow \infty} e_p(t) = 0 \Rightarrow \lim_{t \rightarrow \infty} e(t) = e_u = \lim_{s \rightarrow 0} sE(s) \tag{64}$$

Ad. b) czas opóźnienia t_d

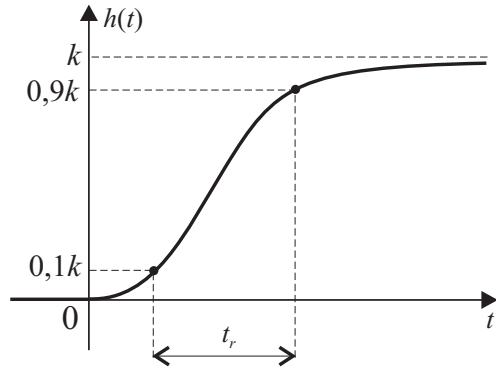


Rys. 58.

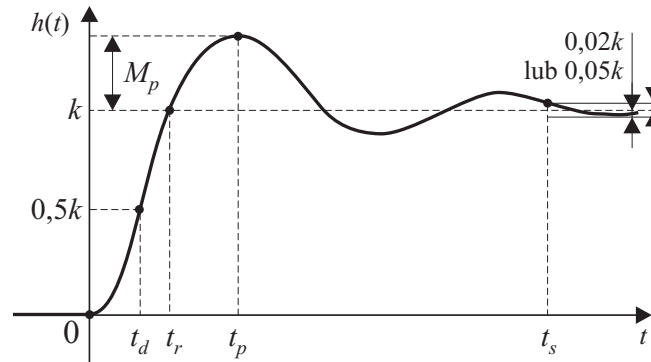
Ad. c) czas narastania t_r

10% → 90% wartości ustalonej dla $\zeta \geq 1$

0% → 100% wartości ustalonej dla $0 < \zeta < 1$



(a)



(b)

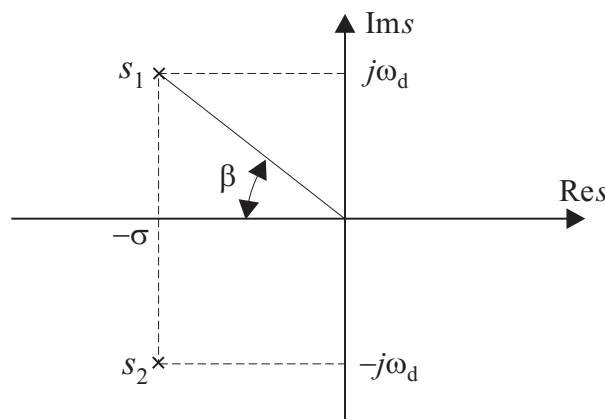
Rys. 59.

$$h(t_r) = k = k \left[1 - e^{-\zeta\omega_n t_r} \left(\cos(\omega_d t_r) + \frac{\zeta}{\sqrt{1-\zeta^2}} \sin(\omega_d t_r) \right) \right]$$

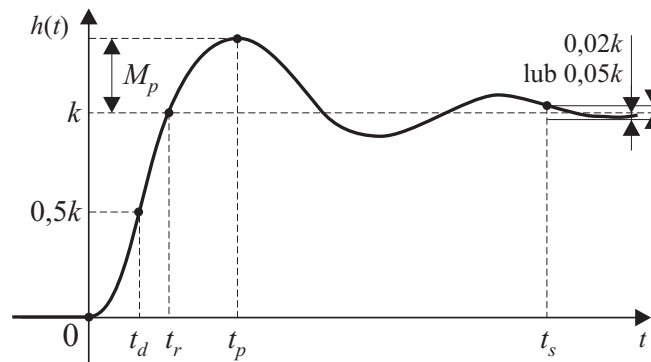
$$e^{-\zeta\omega_n t_r} \neq 0 \Rightarrow \cos(\omega_d t_r) + \frac{\zeta}{\sqrt{1-\zeta^2}} \sin(\omega_d t_r) = 0$$

$$\text{tg}(\omega_d t_r) = -\frac{\sqrt{1-\zeta^2}}{\zeta} = -\frac{\omega_d}{\sigma}, \quad \omega_d = \omega_n \sqrt{1-\zeta^2}, \quad \sigma = \omega_n \zeta$$

$$\boxed{t_r = \frac{1}{\omega_d} \text{arctg} \frac{\omega_d}{-\sigma} = \frac{\pi - \beta}{\omega_d}} \tag{65}$$



Rys. 60. $s_1 = -\sigma + j\omega_d, \quad s_2 = -\sigma - j\omega_d$

Ad. d) czas osiągnięcia wartości maksymalnej t_p 

Rys. 61.

$$h(t) = k \left[1 - e^{-\zeta\omega_n t} \left(\cos(\omega_d t) + \frac{\zeta}{\sqrt{1-\zeta^2}} \sin(\omega_d t) \right) \right] \quad \text{dla } t \geq 0$$

$$\begin{aligned} \frac{dh(t)}{dt} &= k\zeta\omega_n e^{-\zeta\omega_n t} \left(\cos(\omega_d t) + \frac{\zeta}{\sqrt{1-\zeta^2}} \sin(\omega_d t) \right) + \\ &+ k e^{-\zeta\omega_n t} \left(\omega_d \sin(\omega_d t) - \frac{\zeta\omega_d}{\sqrt{1-\zeta^2}} \cos(\omega_d t) \right) = \\ &= k e^{-\zeta\omega_n t} \left[\zeta\omega_n \cos(\omega_d t) + \frac{\zeta^2\omega_n}{\sqrt{1-\zeta^2}} \sin(\omega_d t) + \omega_n \sqrt{1-\zeta^2} \sin(\omega_d t) - \right. \\ &\left. - \zeta\omega_n \cos(\omega_d t) \right] = k\omega_n \sin(\omega_d t) e^{-\zeta\omega_n t} \left(\frac{\zeta^2}{\sqrt{1-\zeta^2}} + \frac{1-\zeta^2}{\sqrt{1-\zeta^2}} \right) \end{aligned}$$

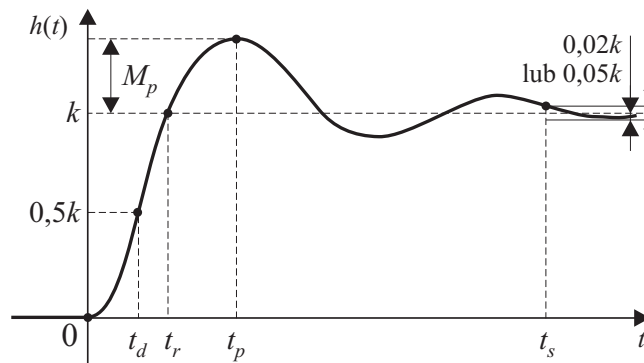
$$\left. \frac{dh(t)}{dt} \right|_{t=t_p} = k \sin(\omega_d t_p) \frac{\omega_n}{\sqrt{1-\zeta^2}} e^{-\zeta\omega_n t_p} = 0 \quad (66)$$

czyli $\sin(\omega_d t_p) = 0$ lub $\omega_d t_p = 0, \pi, 2\pi, \dots$

czas t_p odpowiada pierwszemu przeregulowaniu $\omega_d t_p = \pi$:

$$\boxed{t_p = \frac{\pi}{\omega_d} = \frac{\pi}{\omega_n \sqrt{1-\zeta^2}}} \quad (67)$$

Ad. e) przeregulowanie M_p lub względne przeregulowanie \varkappa

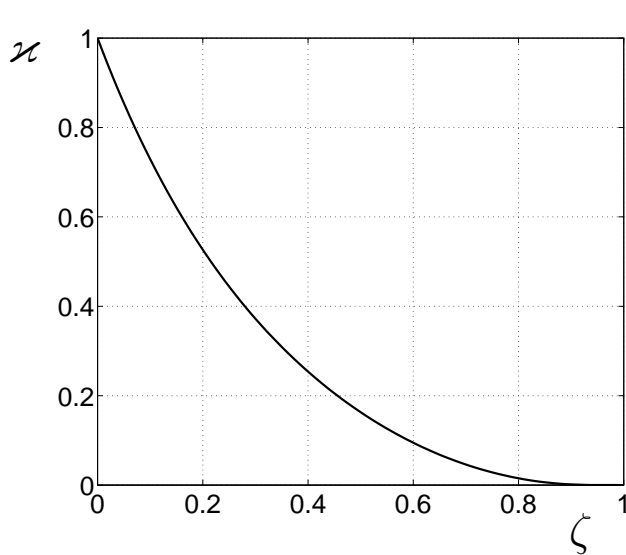


Rys. 62.

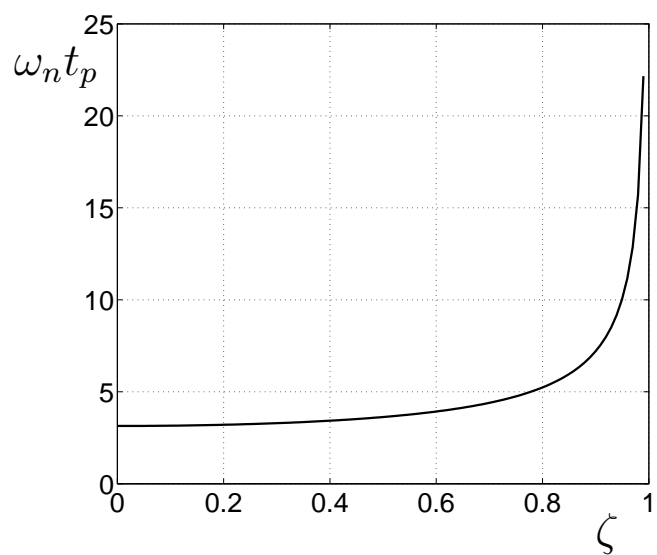
$$\begin{aligned}
 M_p &= h(t_p) - h(\infty) = k \left[1 - e^{-\zeta\omega_n t_p} \left(\cos \pi + \frac{\zeta}{\sqrt{1-\zeta^2}} \sin \pi \right) \right] - k = \\
 &= -k e^{-\zeta\omega_n(\pi/\omega_d)} \left(\underbrace{\cos \pi}_{=-1} + \frac{\zeta}{\sqrt{1-\zeta^2}} \underbrace{\sin \pi}_{=0} \right) = k e^{-\frac{\sigma}{\omega_d} \pi} = k e^{-\frac{\zeta}{\sqrt{1-\zeta^2}} \pi}
 \end{aligned}$$

$$\boxed{M_p = k e^{-\frac{\zeta}{\sqrt{1-\zeta^2}} \pi}} \tag{68}$$

$$\boxed{\varkappa = \frac{M_p}{h(\infty)} = \frac{h(t_p) - h(\infty)}{h(\infty)} = e^{-\frac{\zeta}{\sqrt{1-\zeta^2}} \pi}} \tag{69}$$

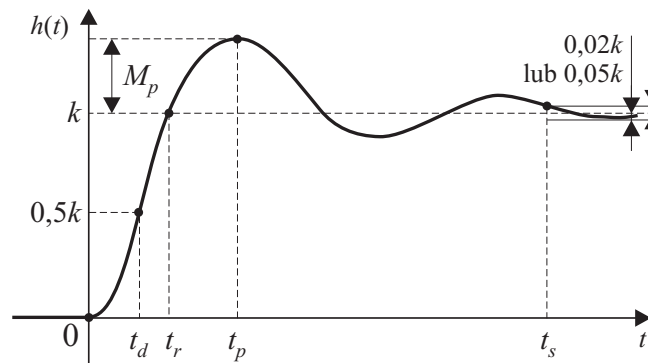


(a)



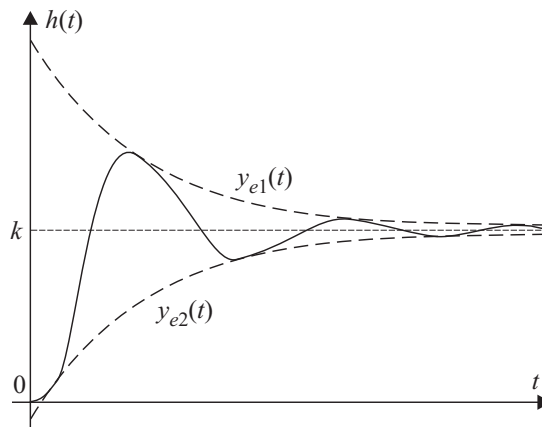
(b)

Rys. 63.

Ad. f) czas ustalania (regulacji) t_s 

Rys. 64.

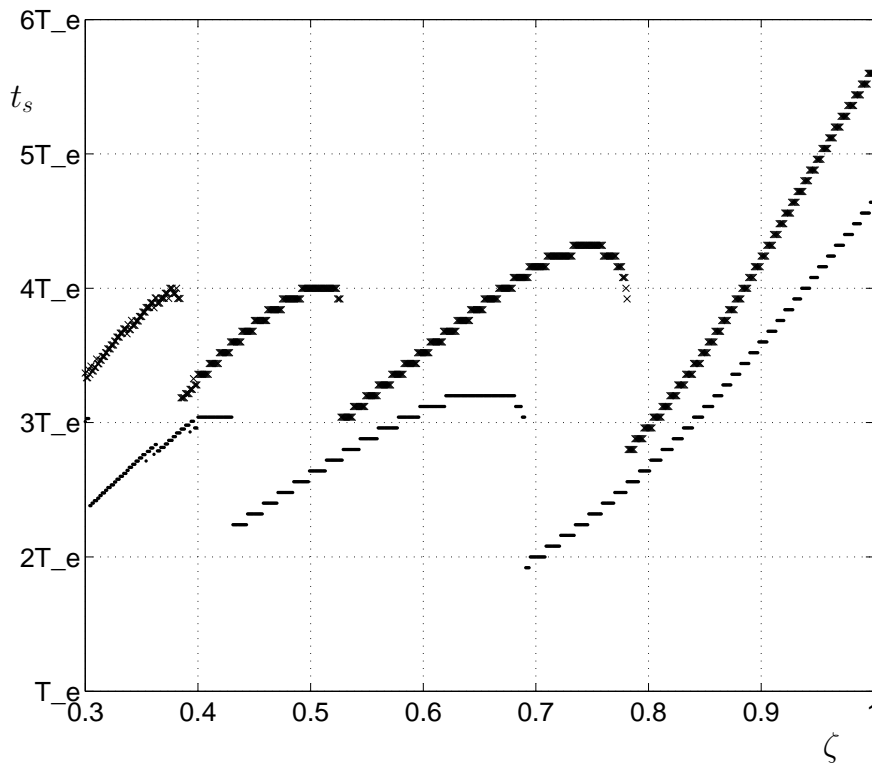
$$y_{e1/2}(t) = k \left(1 \pm \frac{e^{-\zeta\omega_n t}}{\sqrt{1-\zeta^2}} \right) \mathbb{1}(t), \quad T_e = \frac{1}{\zeta\omega_n}$$



Rys. 65.

Przyjmuje się, że $t_s = 4T_e = \frac{4}{\zeta\omega_n}$ dla kryterium $\pm 2\%$,

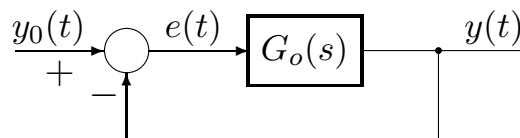
$t_s = 3T_e = \frac{3}{\zeta\omega_n}$ dla kryterium $\pm 5\%$



Rys. 66.

22. Statyzm i astatyzm ciągłych układów regulacji

$$G_o(s) = \frac{L_o(s)}{s^l M_o(s)} \tag{70}$$



Rys. 67.

a) układ statyczny, $y_0(t) = A\mathbb{1}(t)$ czyli $Y_0(s) = A/s$:

$$e_u = \lim_{t \rightarrow \infty} e(t) = \lim_{s \rightarrow 0} sE(s) = \lim_{s \rightarrow 0} sG_e(s) \frac{A}{s} = \lim_{s \rightarrow 0} \frac{A}{1 + G_o(s)} = \frac{A}{1 + k_o} \neq 0$$

b) układ astatyczny 1-go rzędu ($l = 1$), $y_0(t) = A\mathbb{1}(t)$:

$$e_u = \lim_{t \rightarrow \infty} e(t) = \lim_{s \rightarrow 0} sG_e(s) \frac{A}{s} = \lim_{s \rightarrow 0} \frac{A}{1 + \frac{L_o(s)}{sM_o(s)}} = \lim_{s \rightarrow 0} \frac{AsM_o(s)}{sM_o(s) + L_o(s)} = 0$$